

ДЕЙСТВИЕ ВЗРЫВНОЙ ПЛАСТИЧЕСКОЙ ВОЛНЫ НА ПЛАСТИНУ

Р. Г. Якупов

(Уфа)

Действие подвижной нагрузки на бесконечную упругую пластину, свободно покрывающую поверхность идеальной сжимаемой жидкости, рассматривалось в работах [1—3]. Обзор работ по динамике пластины под действием движущейся нагрузки приведен в [4].

Рассматривается движение прямоугольной пластины конечных размеров под действием ударной пластической плоской взрывной волны сжатия, падающей под углом. Пластина является гранью прямоугольной полости, наполненной идеальной сжимаемой жидкостью. Полость находится в плотной среде (грунте) и ограничена жесткими неподвижными стенками. В той же среде на расстоянии $\eta_0 a$ под углом α к поверхности пластины взрывается плоский слой заряда ВВ толщиной $2a$ (фиг. 1), где $\eta_0 = (z \cos \alpha) / a$ — безразмерное расстояние. Заряд ВВ при взрыве мгновенно без изменения объема превращается в газ высокого давления, в результате чего к поверхности среды АВ прикладывается начальное давление p_2 , которое вызывает образование в среде ударной пластической волны сжатия. Скорость фронта и параметры движения среды известны (определены расчетным или экспериментальным путем [5, 6]).

Предполагается, что диаграмма сжатия среды описывается степенным законом и имеет асимптоту, соответствующую давлению, стремящемуся к бесконечности. Тогда давление на фронте волны определяется по формуле [5]

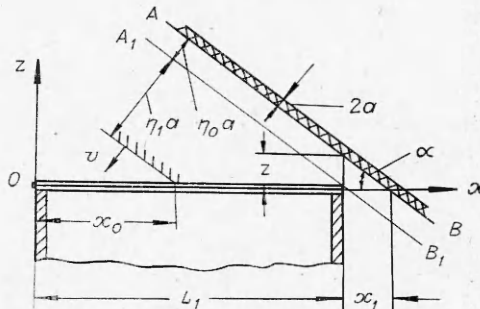
$$p_1 = C_1 (\eta_0 + \eta_1)^\lambda,$$

где $C_1 = p_2 \beta A_0^{m+2}$; $\lambda = \omega(m+2)$; η_1 — безразмерное расстояние, отсчитываемое в направлении нормали к фронту; величины β , A_0 , m и ω зависят от показателя степени сжатия среды n , показателя изэнтропы для продуктов детонации и находятся по известным соотношениям [5].

Используя результаты работ [7, 8], запишем выражение давления ударной пластической волны на поверхность в момент отражения в виде

$$p = p_1 (1 + q) \cos \alpha,$$

где величина $(1 + q)$ — коэффициент отражения при нормальном падении; q — определяется из соотношения $(1 + q^{-1})^n = 1 + q$. Так как $n \geq 1$, то значение $q \geq 1$ и коэффициент отражения для ударной пластической волны всегда больше двух. Для песчаных грунтов нарушенной структуры значения $n = 2,5-3,0$ и соответственно величина $1 + q = 2,84-3,0$, что хорошо согласуется с результатами эксперимента [9], проведенного в песчаных грунтах. На коэффициент отражения влияет скорость преграды в



Фиг. 1

9*

момент отражения. Однако вычисления показывают, что даже в случае равенства скоростей преграды и частиц в падающей волне величина q изменяется в пределах не более 10% [8], так что влиянием скорости преграды пренебрегаем.

По мере распространения взрывной волны скорость фронта и напряжения на фронте убывают. Поэтому на пластину действует распределенная нагрузка, фронт которой движется также с монотонно убывающей скоростью. Закон движения фронта нагрузки находится из соотношений [5] (см. фиг. 1)

$$(1) \quad x_0 = L_1 - (\eta_1 a / \sin \alpha), \quad t_1 = (\rho_0 / p_2)^{1/2} [a / A_0 (1 - \omega)] \eta_1^{1-\omega},$$

где ρ_0 — плотность среды; L_1 — длина пластины в направлении оси x . Время t_1 отсчитывается с момента движения фронта волны от плоскости $A_1 B_1$. Закон изменения давления после отражения принимаем в форме $[1 - (t/t_0)]^s$, где $s \geq 1$; t — время, отсчитываемое с момента отражения; t_0 — время действия волны на пластину. Действие пластической волны на пластину прекращается в момент остановки границы каверны AB , закон движения которой имеет вид

$$\bar{x} = 1 + \varepsilon_* A_0^{-1/\omega} + [\beta A_0^{\eta_1} / (1 + m\omega)] (\eta_0 + \eta_1)^{1+m\omega}, \quad \eta = \eta(t),$$

где \bar{x} — безразмерное смещение границы каверны; ε_* — предельное значение деформации среды.

Таким образом, функция нормального давления на пластину в точке с фиксированной координатой записывается в виде

$$p = \begin{cases} p_0 [1 + (\eta_1/\eta_0)]^k [1 - (t/t_0)]^s (1 + q) \cos \alpha, & \eta_1 > 0, \\ 0, & \eta_1 = 0, \end{cases}$$

где p_0 — давление на фронте волны в момент $\eta_1 = 0$.

В системе координат xyz (см. фиг. 1) уравнение, описывающее движение пластины, принимаем в виде

$$(2) \quad \rho_1 h (\partial^2 w / \partial t^2) + D \nabla^2 \nabla^2 w + p_* = -p(x, t) \text{ при } t_1 > 0,$$

где w , h — смещение и толщина пластины; $\nabla^2 = \partial^2 w / \partial x^2 + \partial^2 w / \partial y^2$; D — цилиндрическая жесткость; ρ_1 , ν — плотность и коэффициент Пуассона материала; p_* — давление жидкости; $p(x, t)$ — функция нагрузки. Влиянием касательных сил на движение пластины пренебрегаем и считаем, что перед фронтом падающей волны возмущения среды отсутствуют.

Движение пластины должно удовлетворять условиям закрепления и начальным условиям

$$(3) \quad w = \partial w / \partial t = 0, \quad t_1 = 0.$$

Когда пластина соприкасается с жидкостью, то в результате движения пластины в жидкости возникает волновое движение — волна излучения. Пусть φ — потенциал скорости в жидкости. Смещения w и φ должны удовлетворить граничным условиям

$$(4) \quad \partial w / \partial t = \partial \varphi / \partial z, \quad z = 0, \quad 0 \leq x \leq L_1.$$

Используя гипотезу плоского отражения [10] и условие (4), запишем выражение давления жидкости

$$(5) \quad p_* = \rho_2 c (\partial w / \partial t),$$

где ρ_2 — плотность жидкости; c — скорость звука.

Определим движение пластины под действием единичной ступенчатой нагрузки, фронт которой движется по закону (1)

$$p(x) = H(x - x_0), \quad H(x - x_0) = \begin{cases} 1 & \text{при } x \geq x_0, \\ 0 & \text{при } x < x_0, \end{cases}$$

$$x_0 = L_1 - (\eta_1 a / \sin \alpha).$$

Выражение для прогиба пластины принимаем в виде

$$(6) \quad w = \sum_{m=1}^{\infty} \sum_{n=1}^{\infty} f_{mn}(t) X_m(x) Y_n(y).$$

Функции $X_m(x)$ и $Y_n(y)$ подбираем из числа фундаментальных функций, исходя из условий закрепления пластины по краям. Если края свободно оперты, то

$$X_m(x) = \sin \beta_m x, \quad Y_n(y) = \sin \gamma_n y, \quad (\beta_m = \pi m / L_1, \quad \gamma_n = \pi n / L_2),$$

где L_2 — размер пластины в направлении оси y . Для закрепленных краев при $x = 0$, L_1 имеем

$$(7) \quad X_m(x) = \sin \lambda_m x - \text{sh } \lambda_m x - g_m (\cos \lambda_m x - \text{ch } \lambda_m x),$$

где

$$g_m = (\sin \mu_m - \text{sh } \mu_m) / (\cos \mu_m - \text{ch } \mu_m), \quad \mu_m = \lambda_m L_1 = (2m + 1)\pi/2$$

— характеристическое число функции (7) является корнем уравнения $\text{ch } \mu_m \cos \mu_m - 1 = 0$, $m = 1, 2, 3, \dots$. Аналогичное выражение берется и для $Y_n(y)$, если края закреплены при $y = 0$, L_2 .

Подставляем выражения (5), (6) в уравнение (2) и будем решать его методом Бубнова—Галеркина, затем умножая его на $X_k(x)$, $Y_j(y)$ и интегрируя в пределах от 0 до L_1 , от 0 до L_2 , приходим к уравнению

$$\sum_{k=1}^{\infty} \sum_{j=1}^{\infty} [\delta_{km,jn} (f''_{mn} + 2\kappa f'_{mn}) + \Omega_{km,jn}^2 f_{mn} + \kappa Q_{kj} / \rho_1 h L_1 L_2] = 0,$$

где $\delta_{km,jn}$ — символ Кронекера (1 при $m = k$, $j = n$; 0 при $m \neq k$, $n \neq j$; $m = k$, $n \neq j$; $m \neq k$, $n = j$); $\Omega_{km,jn}^2$ — квадрат частоты собственных колебаний пластины; $2\kappa = \rho_2 c / \rho_1 h$; $Q_{kj} = \int_{x_0}^{L_1} \int_0^{L_2} X_k(x) Y_j(y) dx dy$,

штрих обозначает дифференцирование по времени t_1 .

Для свободно опертой пластины имеем (при интегрировании k и j заменили на m и n)

$$\Omega_{mn}^2 = D (\beta_m^2 + \gamma_n^2) / \rho_1 h, \quad Q_{mn} = 2 [\cos (\pi m x_0 / L_1) - (-1)^m], \\ n = 1, 3, 5, \dots; \quad \chi = 4.$$

Для защемленной по краям пластины

$$\Omega_{mk,jn}^2 = D [F_{mk} + 2H_{mk} H_{nj} + F_{nj}] / \rho_1 h, \\ Q_{kj} = 4 [2(-1)^{k+1} + \cos \lambda_k x_0 + \text{ch } \lambda_k x_0 + g_m (\sin \lambda_k x_0 - \text{sh } \lambda_k x_0)], \\ j = 1, 3, 5, \dots; \quad \chi = 1;$$

$$(8) \quad F_{mk} = \begin{cases} \lambda_m^4 & \text{при } m = k, \\ 0 & \text{при } m \neq k; \end{cases} \quad H_{mk} = \begin{cases} \lambda_m^2 [1 - (2/\mu_m)] & \text{при } k = m, \\ \frac{2\lambda_m^2 (\lambda_k - \lambda_m)}{\lambda_m \mu_m + \lambda_k \mu_k} & \text{при } k \neq m, \\ \frac{4\lambda_m^2 \lambda_k^2}{(\lambda_k^2 + \lambda_m^2)(\mu_m + \mu_k)} & \begin{matrix} k + m = \text{нечетно,} \\ k + m = \text{четно.} \end{matrix} \end{cases}$$

Выражения для H_{nj} и \bar{F}_{nj} получаются из (8) заменой соответствующих индексов.

Используя соотношения (1), выражение $Q_{kj}(x_0)$ представим в виде $Q_{kj}(t_1)$. Тогда для свободно опертой пластины имеем уравнение

$$(9) \quad f''_{mn} + 2\kappa f'_{mn} + \Omega_{mn}^2 f_{mn} = [8(-1)^{m+1}/\pi^2 mn \rho_1 h] (\cos \Delta t_1^{s_1} - 1),$$

где $s_1 = 1/(1 - \omega)$; $\Delta = [(\rho_0/p_2)^{1/2} a^\omega (L_1 \sin \alpha)^{1-\omega}/A_0(1 - \omega)]^{-s_1}$.

Приводим решение (9), удовлетворяющее начальным условиям (3), к виду

$$(10) \quad f_{mn} = \frac{8(-1)^{m+1}}{\pi^2 mn \rho_1 h (r_2 - r_1)} \int_0^{t_1} (e^{r_2(t_1-\theta)} - e^{r_1(t_1-\theta)}) (\cos \Delta \theta^{s_1} - 1) d\theta,$$

где $r_{1,2}$ — корни характеристического уравнения.

В случае единичной ступенчатой нагрузки, движущейся с постоянной скоростью v , так что $x_0 = vt$, и для действительных $r_{1,2}$ решение (9) имеет вид

$$(11) \quad f_{mn} = -\frac{8}{\pi^2 mn \rho_1 h} \left\{ \frac{1}{r_2 - r_1} \left[\frac{2\kappa \Delta_1^2}{\Delta_2} (e^{r_1 t} - e^{r_2 t}) + \left(\frac{\Delta_2}{\Delta_3} - \frac{(-1)^m}{\Omega_{mn}^2} \right) (r_1 e^{r_2 t} - r_2 e^{r_1 t}) + \frac{\Delta_2}{\Delta_3} \cos \Delta_1 t + \frac{2\kappa \Delta_1}{\Delta_3} \sin \Delta_1 t - \frac{(-1)^m}{\Omega_{mn}^2} \right] \right\},$$

$$\text{где } \Delta_1 = \pi v / L_1; \quad \Delta_2 = \Omega_{mn}^2 - \Delta_1; \quad \Delta_3 = \Delta_2^2 + (2\kappa \Delta_1)^2.$$

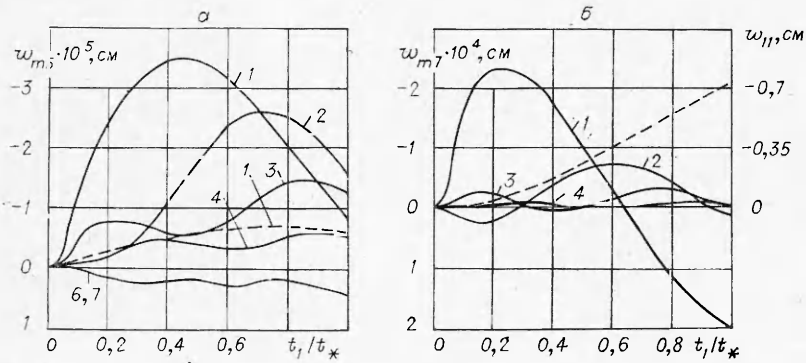
Полагая в (9) $\kappa = 0$ и $x_0 = vt$, находим решение без учета влияния жидкости

$$(12) \quad f_{mn} = -\frac{8}{\pi^2 mn \rho_1 h} \left[\left(\frac{(-1)^m}{\Omega_{mn}^2} - \frac{1}{\Delta_2} \right) \cos \Omega_{mn} t + \frac{1}{\Delta_2} \cos \Delta_1 t - \frac{(-1)^m}{\Omega_{mn}^2} \right].$$

Значения скорости фронта волны, удовлетворяющие условию $v_k = \Omega_{mn} L_1 / \pi m$, назовем критическими. Как видно из (11), (12), при критических значениях скорости движения фронта нагрузки $v = v_k$ прогибы пластины имеют повышенные значения и зависят от величины гидродинамического демпфирования. Из (12) следует, что при отсутствии демпфирующего влияния жидкости ($\kappa = 0$) и $v = v_k$ прогибы пластины стремятся к бесконечности (подобно явлению резонанса в колебательных системах).

Решения (10) — (12) можно рассматривать как функцию влияния и определить w под действием нагрузки произвольной формы с помощью интеграла

$$f_{mn}^* = p(x_0) f_{mn}(x_0) + \int_{x_0}^{L_1} f_{mn}(x_0 - x) [\partial p(x) / \partial x] dx,$$



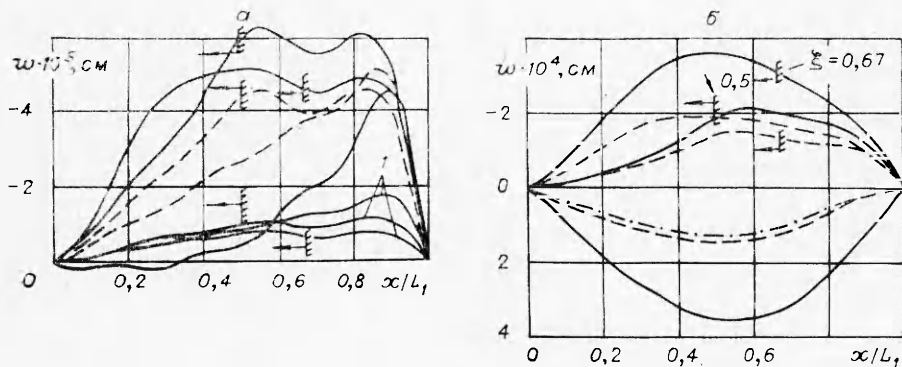
Ф и г. 2

где $p(x_0)$ — значение нагрузки на фронте; $p(x)$ — функция, характеризующая изменение нагрузки за фронтом.

Численный пример. Пластина имеет размеры $L_1 = 200$ см, $L_2 = 100$ см, $h = 1$ см, $E = 2 \cdot 10^6$ кг/см², $\nu = 0,3$, $\rho_1 = 8 \cdot 10^{-6}$ кг·с²/см⁴. В полости содержится вода, $\rho_2 = 1,02 \cdot 10^{-6}$ кг·с²/см⁴, $c = 1,5 \cdot 10^5$ см/с. Прогибы w определены для единичной ступенчатой нагрузки, движущейся с постоянной скоростью $v = 6 \cdot 10^4$; $8,76 \cdot 10^4$ и $9 \cdot 10^4$ см/с. Результаты вычислений приведены на фиг. 2, 3.

На фиг. 2 показаны изменения прогиба w_{mn} в заданном сечении пластины $x/L_1 = 0,8$ в зависимости от безразмерного времени. Здесь t_* — время продвижения фронта нагрузки от $x = L_1$ до $x = 0$. Штриховая и сплошные линии на фиг. 2, а соответствуют значению $n = 3$ и 5, сплошные линии на фиг. 2, б — значению $n = 7$, а штриховая кривая показывает изменение прогиба w_{11} в сечении пластины $x/L_1 = 0,5$ без учета влияния жидкости. Масштаб для этой кривой показан справа. При определении w без учета влияния жидкости с большой точностью можно ограничиться одним членом ряда $m = 1, n = 1$ (вклад остальных членов ряда не более 2%). Кривые 1—4, 6, 7 на фиг. 2 соответствуют числам $m = 1—4, 6, 7$.

Кривые на фиг. 3 соответствуют прогибам w по длине пластины для нескольких фиксированных положений фронта нагрузки $\xi = x_0/L_1 = 0,67$; 0,5 и 0. Положение фронта показано штрихом. При расчете предполагалось, что в направлении оси y на длине L_2 образуется заданное число n .



Ф и г. 3

полуволн, суммирование ряда производилось по m от $m = 1$ до $m = 8$. Кривые 1 на фиг. 3, а соответствуют значению $n=3$, остальные — значению $n = 5$, а на фиг. 3, б принято значение $n = 7$. Сплошные линии относятся к скорости $v = 6 \cdot 10^4$ см/с, штриховые и штрихпунктирные — к скорости $v = 8,76 \cdot 10^4$ и $9 \cdot 10^4$ см/с.

Как видно из фиг. 2, б (штриховая линия), при отсутствии в полости жидкости прогиб пластины в течение времени t_* монотонно возрастает и достигает величины $0,7 h$.

Если же пластина соприкасается с жидкостью, движение пластины близко к аperiodическому и величина прогиба намного меньше, чем прогиб без учета влияния жидкости, что обусловлено большим демпфированием жидкости. Изменение w_{mn} по времени для различных мод m и n неодинаково. Значительно быстрее развиваются прогибы при $m = 1$, $n = 5; 7$. Поэтому здесь можно ожидать появления прогибов с одной полуволной в направлении оси x и несколькими полуволнами в направлении оси y ($m = 1, n > 3$).

Из сравнения кривых 1 на фиг. 2, а следует, что прогиб w_{13} значительно меньше величины w_{15} . Прогиб пластины с числом полуволн $m = 1$, $n = 1; 3$ должен сопровождаться большими изменениями объема полости. Вследствие слабой сжимаемости жидкости эти прогибы малы. С увеличением числа n жидкость может перетекать из одной области в другую и величина w_{mn} несколько возрастает.

Анализ приведенных на фиг. 2, 3 данных показывает, что величина и характер изменения прогиба пластины зависят от формы волнообразования, положения фронта нагрузки и ее скорости. С увеличением скорости v прогибы уменьшаются.

Для $t_0 > t_*$, полагая $Q_{mn} = 4$, $m = 1, 3, 5, \dots$, $n = 1, 3, 5, \dots$, $Q_{hj} = 16$, $k = 1, 3, 5, \dots$, $j = 1, 3, 5, \dots$ и используя полученные значения w_{mn} , w_{mn} как начальные, можно определить дальнейшее изменение прогиба.

Поступила 4 VII 1975

ЛИТЕРАТУРА

1. Рахматуллин Х. А., Саатов Я. У., Сабодаш П. Ф., Филиппов И. Г. Двумерные задачи по неустановившемуся движению сжимаемых сред. Ташкент, «Фан», 1969.
2. Хейсен Д. Е. Нестационарная задача о колебаниях бесконечной упругой пластинки, плавающей на поверхности идеальной жидкости. — «Изв. АН СССР. ОТН», 1962, № 1.
3. Хейсен Д. Е. Перемещение нагрузки по упругой пластине, плавающей на поверхности идеальной жидкости. — «Изв. АН СССР. ОТН», 1963, № 1.
4. Якушев Н. З. Динамика строительных систем под воздействием движущихся нагрузок. — В кн.: Исследования по теории пластин и оболочек. Казань, изд. Казанск. ун-та, 1972.
5. Якупов Р. Г. Плоская взрывная волна в грунтах. — ПМТФ, 1974, № 3.
6. Захаров С. Д., Ляхов Г. М., Мизякин С. Д. Определение динамической сжимаемости грунта по параметрам плоских взрывных волн. — ПМТФ, 1972, № 1.
7. Ковнов А. Н., Скобеев А. М. Отражение пластической волны, падающей под углом на жесткую стенку. — «Изв. АН СССР. МТТ», 1973, № 1.
8. Зволлинский Н. В., Рыков Г. В. Отражение пластической волны от преграды. — ПММ, 1963, т. 27, вып. 1.
9. Ляхов Г. М., Дубова Р. И. Волны в грунте при наземном взрыве и их взаимодействие с преградами. — В кн.: Труды V сессии Уч. совета по народнохоз. использ. взрыва. Фрунзе, «Илим», 1965.
10. Григолюк Э. И., Кураши Л. М., Присекин В. Л. К уточнению гипотезы плоского отражения. — «Докл. АН СССР», 1964, т. 155, № 1.